



## **ΟΡΓΑΝΙΚΑ ΜΕΤΑΛΛΑ ΒΑΣΙΣΜΕΝΑ ΣΕ ΤΕΤΡΑΘΕΙΑΦΟΥΛΒΑΛΕΝΙΑ ΚΑΙ ΜΕΤΑΛΛΟ-1,2-ΔΙΘΕΙΟΛΕΝΙΑ**

Γ.Α. Μούσδης<sup>1</sup>, Γ.Κ. Παπαβασιλείου<sup>1</sup>, Γ.Χ. Ανυφαντής<sup>2</sup>, Ν. Ψαρουδάκης<sup>2</sup>,  
Α. Τερζής<sup>3</sup>, Κ. Ραπτοπούλου<sup>3</sup>, Ν. Ασημομύτης<sup>1</sup>, Δ. Παπαχατζής<sup>1</sup>, Κ.  
Murata<sup>4</sup>

<sup>1</sup> Εθνικό Ιδρυμα Ερευνών, Κων/νου 48 Αθήνα 116/35, Ελλάδα

<sup>2</sup> Πανεπιστήμιο Αθηνών, Τμήμα Χημείας, Τομέας III, Εργαστήριο Ανόργανης Χημείας,  
Πανεπιστημιούπολη Ζωγράφου, 15771, Ελλάδα

<sup>3</sup> Ινστ. Επ. Υλ. Κέντρο Φυσικών Ερευνών «Δημόκριτος» Αθήνα 15310, Ελλάδα

<sup>4</sup> Dept. Mat. Sci., Osaka City Univ., Osaka 558-8585, Japan

### **ΠΕΡΙΛΗΨΗ**

Νέοι π-δότες ηλεκτρονίων της σειράς των τετραθειαφουλβαλενίων με μεθόξυ ομάδες συνθέθηκαν και χαρακτηρίσθηκαν. Ριζικά άλατα με βάση αυτά τα υλικά παρασκευάστηκαν. Μελετήθηκε μια σειρά αγώγιμων ριζικών αλάτων με βάση π-δότες της σειράς των τετραθειαφουλβαλενίων και μεταλλο-1,2-διθειολενίων, κυρίως ως προς τη δομή τους και τη μεταβολή της ηλεκτρικής τους αγωγιμότητας συναρτήσει της θερμοκρασίας.

### **Λέξεις Κλειδιά:**

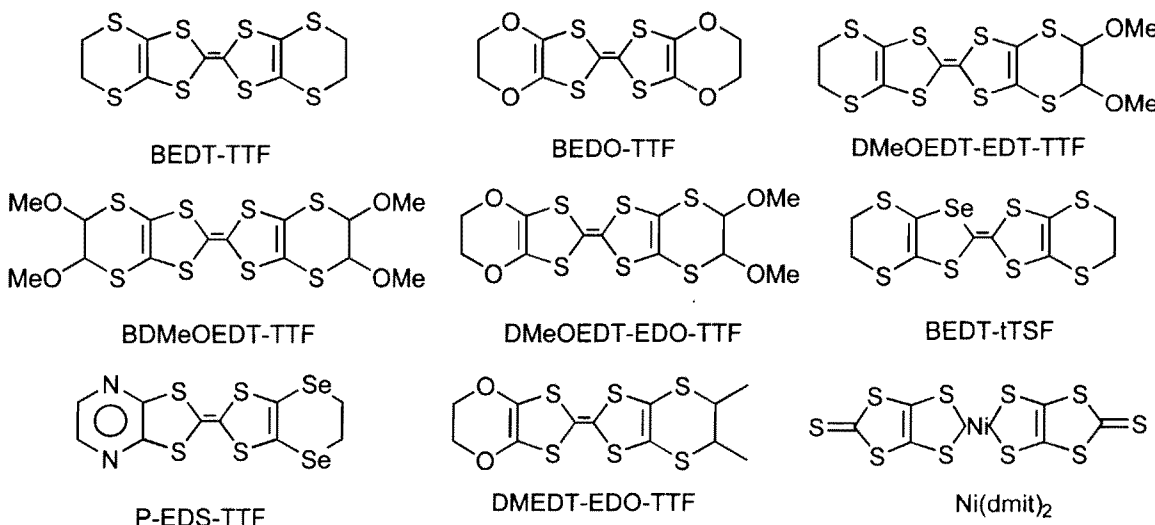
Αγώγιμα οργανικά υλικά, μόρια π-δότες ηλεκτρονίων, ηλεκτρική αγωγιμότητα

### **ΕΙΣΑΓΩΓΗ**

Από την εποχή της παρασκευής του πρώτου οργανικού μετάλλου TTF-TCNQ<sup>1</sup> το 1972, αναζητούνται και παρασκευάζονται νέα μόρια π-δοτών παραγώγων του τετραθειαφουλβαλενίου (TTF) ώστε να βελτιωθούν οι ηλεκτρικές ιδιότητες των αλάτων τους και να κατανοηθεί πλήρως το φαινόμενο της αγωγιμότητας και υπεραγωγιμότητας των<sup>2</sup>. Εως σήμερα έχει παρασκευαστεί, μια πληθώρα μορίων π-δοτών παραγώγων του TTF με κυριότερα το BEDT-TTF [δισ (εθυλενοδιθείο) τετεραθειαφουλβαλενίου] και το BEDO-TTF [δισ (εθυλενοδιόξυ) τετεραθειαφουλβαλενίου]. Μια άλλη κατηγορία αγώγιμων οργανικών υλικών είναι τα άλατα των συμπλόκων διθειολενίων με μέταλλα (Ni, Pt, Pd κλπ). Τα άλατα αυτά έδωσαν πολλά αγώγιμα υλικά καθώς και ορισμένα υπεραγώγιμα.

Σ' αυτή την εργασία περιγράφεται η παρασκευή δύο παραγώγων του BEDT-TTF δηλ. του DMeOEDT-EDT-TTF και του BDMeOEDT-TTF και ενός υβριδίου των BEDT-TTF και BEDO-TTF δηλ. του DMeOEDT-EDT-TTF (Σχήμα 1). Οι δότες αυτοί και άλλοι που παρασκευάστηκαν παλαιότερα χρησιμοποιήθηκαν για την παρασκευή μερικών ριζικών αλάτων, επίσης παρασκευάστηκαν και μερικά άλατα βασισμένα σε

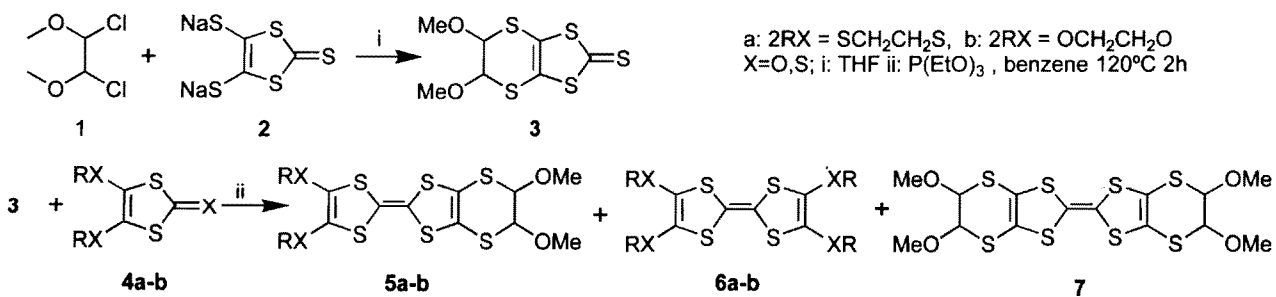
σύμπλοκα διθειολενίων. Τα άλατα αυτά μελετήθηκαν κυρίως ως προς την δομή και τη μεταβολή της ηλεκτρικής τους αγωγιμότητας συναρτήσει της θερμοκρασίας



Σχήμα 1

### ΑΠΟΤΕΛΕΣΜΑΤΑ ΚΑΙ ΣΥΖΗΤΗΣΗ.

Η σύνθεση των 5,6,5',6'-Τετραμεθόξυ-5,6,5',6'-τετραυδρο-[2,2']δι[1,3]διθείολο [4,5-b][1,4] διθειονυλιδένιο (BDMeOEDT-TTF), 5,6-Διμεθόξυ-5,6,5',6'-τετραυδρο-[2,2'] δι[1,3] διθείολο [4,5-b][1,4] διθειονυλιδένιο (DMeOEDT-EDT-TTF) και 2-(5,6-Διμεθόξυ-5,6-διυδρο-[1,3]διθείολο[4,5-b][1,4]διθειν-υλιδεν)-5,6-διυδρο-[1,3]διθείολο [4,5-b][1,4] διοξίνη (DMeOEDT-EDO-TTF) έγινε σύμφωνα με το Σχήμα 2.



Σχήμα 2

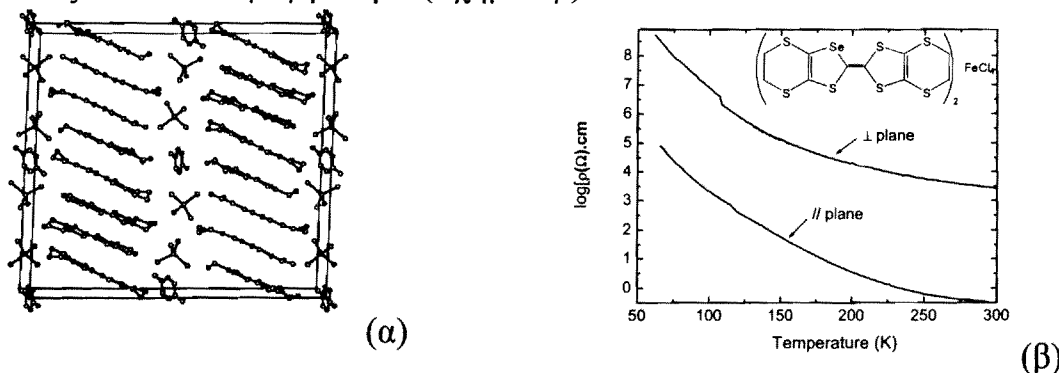
Σαν πρώτη ύλη χρησιμοποιήθηκε το 1,2 διχλωρο 1,2 διμεθόξυ αιθάνιο<sup>3</sup> που αντέδρασε με το άλας 2 σε THF για να δώσει την θειόνη 3. Σύζευξη της θειόνης 3 με τις θειόνες ή κετόνες 4α,β<sup>4</sup> σε βενζόλιο παρουσία  $P(EtO)_3$  έδωσε μίγμα συμμετρικών και ασύμμετρων προϊόντων που διαχωρίστηκαν με υγρή χρωματογραφία χρησιμοποιώντας  $SiO_2$  σαν υπόστρωμα και  $CH_2Cl_2$  σαν διαλύτη εκλούσεως. Όλα τα προϊόντα ταυτοποιήθηκαν με NMR και χημική ανάλυση.

Τα δυναμικά οξειδοαναγωγής των νέων π-δοτών μετρήθηκαν καθώς και αντό του BEDT-TTF για σύγκριση (Πίν. 1). Όπως φαίνεται στον Πίνακα 1 όλοι οι νέοι δότες έχουν 2 αντιστρεπτές οξειδώσεις που αντιστοιχούν στο μονοκατίον και στο δικατίον με δυναμικά παραπλήσια του BEDT-TTF. Οξείδωση των νέων π-δοτών με  $Bu_4NI_3$  με χημική ή ηλεκτροχημική μέθοδο έδωσε μαύρα αγώγιμα κρύσταλλα.

Πίνακας 1. Δυναμικά οξειδοαναγωγής των νέων π-δοτών σε  $CH_2Cl_2$  ( $V$  vs SCE 25 °C).

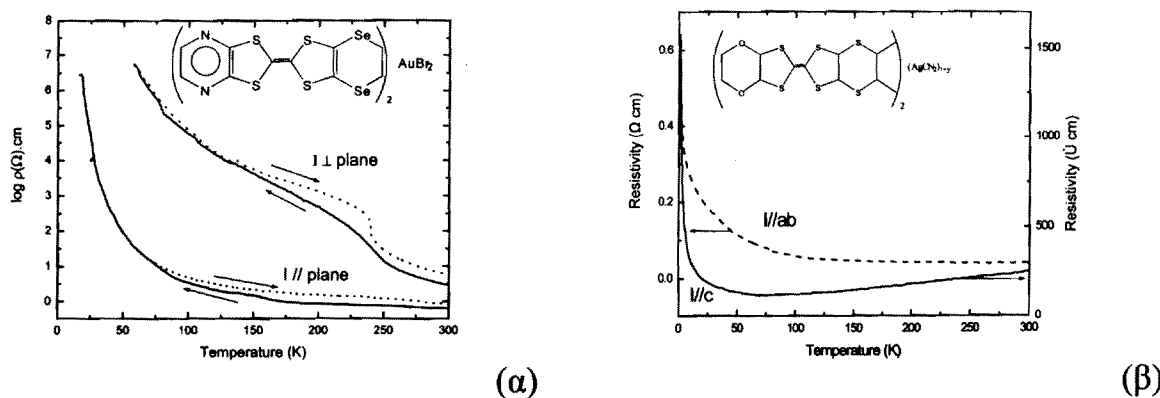
Μόριο	$E_1$	$E_2$	$E_2-E_1$
DMeOEDT- EDT-TTF	0,54	0,96	0,42
DMeOEDT-EDO-TTF	0,47	0,89	0,42
BDMeOEDT-TTF	0,55	0,96	0,41
BEDT-TTF	0,48	0,89	0,41

**(BEDT-tTSF)<sub>2</sub>FeCl<sub>4</sub>.** Παρασκευάστηκε με ηλεκτροκρυστάλλωση διαλύματος BEDT-tTSF και Bu<sub>4</sub>NFeCl<sub>4</sub> σε C<sub>6</sub>H<sub>5</sub>Cl. Οι κρύσταλλοι του έχουν χρώμα μαύρο και σχήμα που μοιάζει με σανίδες. Η κρυσταλλική του δομή είναι παρόμοια με αυτή της λ μορφής του BEDT-TTF και αποτελείται από στρώματα π-δότη με φορτίο +0.5 που χωρίζονται από στρώματα του ανιόντος και διαλύτη (Σχήμα. 3α). Η κρυσταλλική του δομή είναι μονοκλινής και ανήκει στην ομάδα συμμετρίας I2/A όπου  $a = 35.218$   $b = 6.8061$   $c = 31.6473$   $\beta = 90.153^\circ$ . Η ηλεκτρική του αγωγιμότητα παρουσιάζει ημιαγώγιμη συμπεριφορά σε όλες τις διαστάσεις με μεγάλη ανισοτροπία (>1000) στην εντός και εκτός επιπέδου αγωγιμότητα (Σχήμα 3β).



Σχήμα 3.: Κρυσταλλική δομή (α) και μεταβολή της ηλεκτρικής αγωγιμότητας συναρτήσει της θερμοκρασίας (β) του (BEDT-tTSF)<sub>2</sub>FeCl<sub>4</sub>.

**(BEDT-tTSF)<sub>2</sub>GaCl<sub>4</sub>** Ηλεκτροκρυστάλλωση του BEDT-tTSF με Bu<sub>4</sub>NGaCl<sub>4</sub> σε C<sub>6</sub>H<sub>5</sub>Cl έδωσε λεπτούς σαν βελόνες κρυστάλλους με παρόμοια δομή και αγωγιμότητα με αυτή του (BEDT-tTSF)<sub>2</sub>FeCl<sub>4</sub>.

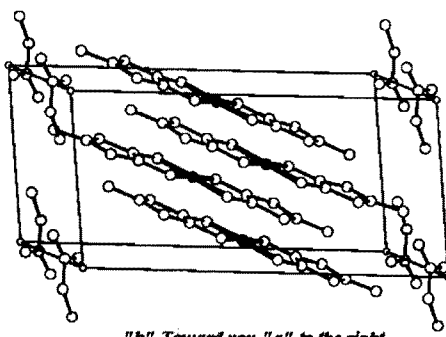


Σχήμα 4. Μεταβολή της ηλεκτρικής αγωγιμότητα συναρτήσει της θερμοκρασίας του (P-EDS-TTF)<sub>2</sub>AuBr<sub>2</sub> (α) και (DMEDT-EDO-TTF)<sub>2</sub>(AgCN<sub>2</sub>)<sub>1+y</sub> (β)

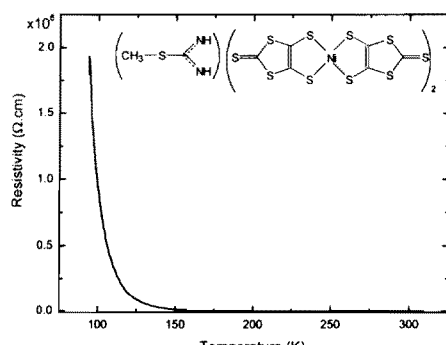
**(P-EDS-TTF)<sub>2</sub>AuBr<sub>2</sub>** Παρασκευάστηκε με ηλεκτροκρυστάλλωση του P-EDS-TTF με Bu<sub>4</sub>NAuBr<sub>2</sub> σε CH<sub>2</sub>Cl<sub>2</sub> και έδωσε τετράγωνους μαύρους κρυστάλλους, με ημιαγώγιμη συμπεριφορά παράλληλα και κάθετα στο επίπεδο (Σχήμα 4α).

**(DMEDT-EDO-TTF)<sub>2</sub>(AgCN<sub>2</sub>)<sub>1+y</sub>** Παρασκευάστηκε με ηλεκτροκρυστάλλωση του DMEDT-EDO-TTF με Bu<sub>4</sub>NAgCN<sub>2</sub> σε CH<sub>2</sub>Cl<sub>2</sub> και έδωσε τετράγωνους μαύρους κρυστάλλους. Οι κρύσταλλοι του ανήκουν στην τ-μορφή και παρουσιάζει τις χαρακτηριστικές ιδιότητες των αλάτων της τ-μορφής<sup>5</sup>. Εχει ημιαγώγιμη συμπεριφορά παράλληλα και κάθετα στο επίπεδο με μεγάλη ανισοτροπία (Σχήμα 4β).

**[CH<sub>3</sub>SC(NH<sub>2</sub>)][Ni(dmit)<sub>2</sub>]<sub>2</sub>** Το άλας αυτό παρασκευάστηκε χημικά αλλά και με ηλεκτροκρυστάλλωση. Οι κρύσταλλοι του έχουν χρώμα μαύρο και σχήμα που μοιάζει με σανίδες. Η κρυσταλλική του δομή είναι τρικλινής και ανήκει στην ομάδα συμμετρίας P1 όπου  $a = 17,2608$   $b = 11,3923$   $c = 8,3027$   $\alpha = 79,76^\circ$   $\beta = 84,37^\circ$   $\gamma = 77,57^\circ$  (Σχήμα 5α). Η ηλεκτρική του αγωγιμότητα παρουσιάζει ημιαγώγιμη συμπεριφορά μέχρι τους 130K όπου μετατρέπεται σε μονωτή (Σχήμα 5β). Παρασκευάστηκε επίσης το άλας [CH<sub>3</sub>SC(NH<sub>2</sub>)][Pt(dmit)<sub>2</sub>]<sub>2</sub> με παρόμοιες ιδιότητες.



(α)



(β)

Σχήμα 5 Κρυσταλλική δομή (α) και μεταβολή της ηλεκτρικής αγωγιμότητας συναρτήσει της θερμοκρασίας (β) του [CH<sub>3</sub>SC(NH<sub>2</sub>)][Ni(dmit)<sub>2</sub>]<sub>2</sub>

## ΑΝΑΦΟΡΕΣ

- 1 J. Ferraris, D.O. Cowan, V. V. Walatka and J. H. Perlstein, J. Am. Chem. Soc. 94 3372 (1972)
- 2 G. C. Papavassiliou, A. Terzis and P. Delhaes, in <<Handbook of Organic Conductive Molecules and Polymers>>, Edited by H. S. Nalwa, John Wiley and Sons Ltd 1, 151 (1997); Proceedings of the latest International Conference on Science and Technology of Synthetic Metals (ICSM'2002), Shanghai China 29-June – 5 July 2002 published in Synth. Metals vol. 135-136 2003
- 3 H. Baganz and L. Domaschke, Chem. Ber. 91, 911 (1958)
- 4 G.C. Papavassiliou, J. S. Zambounis, and S. Y. Yiannopoulos, Chemica Scripta 27, 261 (1987); G.C. Papavassiliou, V. C. Kakousis, D. J. Lagouvardos and G. A. Mousdis, Mol. Cryst. Liq. Cryst. 181, 171 (1990)
- 5 G. C. Papavassiliou, in "TTF Chemistry" Edited by Jun-ichi Yamada and T. Sugimoto, Kadansha and Springer (2003), in press